

МАТЕМАТИЧЕСКО МОДЕЛИРАНЕ НА ИНДУКЦИОННО НАГРЕВАНЕ
ПРОЦЕСА ПРИ ОБЕДНО ПЪРМОДОВО НАГРЕВАНЕ

изгк. Николай Христов Ненов
проф. д-р. Тодор Стойков Тодоров
Варна - Габрово

Както е известно, в устройствата за индукционно нагряване определящи роля имат електромагнитните и топлинни явления. Досегашното развитие на теорията е доволно до създаването на електротоплинни модели, основаващи се на съвместното решаване на уравненията на електромагнетизма и температуропроводността при използване на подходящи числени методи [1]. Един от тези методи, характеризира се с добри резултати при моделирането на електротоплинните процеси, е методът на крайните разлики.

Процесът на индукционно нагряване на цилиндрично тяло в надлъжно магнитно поле /фиг. 1/ може да се опише със система едномерни нелинейни диференциални уравнения на електромагнетизма и топлопроводността [2].

$$\left\{ \begin{array}{l} \frac{1}{R} \frac{\partial}{\partial R} \left(\rho R \frac{\partial \dot{H}}{\partial R} \right) = j \omega \mu \mu_0 \dot{H} \\ C_v \frac{\partial T}{\partial t} - \frac{1}{R} \frac{\partial}{\partial R} \left(\lambda R \frac{\partial T}{\partial R} \right) = q \end{array} \right. \quad (1)$$

където: \dot{H} - комплексната напрегнатост на магнитното поле;
 R - ефективен радиус на цилиндричното тяло;
 ρ - специфично съпротивление;
 μ - относителна магнитна проникваемост;
 $\mu_0 = 4\pi \cdot 10^{-9} \text{ H/cm}$
 $\omega = 2\pi \cdot f$
 C_v - обемен топлинен капацитет;
 λ - топлопроводност;
 T - температура;
 q - специфична обемна мощност на вътрешните източници на

топлина

$$q = \rho \left| \frac{\partial \dot{H}}{\partial R} \right|^2$$

Граничните стойности се определят от режима на нагряване и условията на топлообмен. Граничните условия за система /1/ имат вида:

- на вътрешната повърхност на цилиндър с радиус R_B

$$R = R_B \rightarrow \rho \frac{\partial \dot{H}}{\partial R} = j \omega \mu_0 R_B \dot{H} / 2$$

$$\text{и} \quad - \lambda \frac{\partial T}{\partial R} = \Delta P_1$$

където: ΔP_1 - специфичната мощност на топлинните загуби от вътрешната повърхност на цилиндъра.

При пълен цилиндър $R_B = 0$ и $\frac{\partial}{\partial R} \dot{H}(R_B) = 0$

- на външната повърхност на цилиндър с радиус R_2

$$R = R_2 \rightarrow \dot{H} = \dot{H}_e$$

$$- \lambda \frac{\partial T}{\partial R} = \varepsilon \sigma (T^4 - T_c^4) - \alpha (T - T_c) = \Delta P_0$$

където: ΔP_0 - специфична мощност на топлинните загуби;

ε - коефициент на чернота;

α - коефициент на топлообмен;

σ - const на Стефан - Болцман;

T_c - температура на околната среда, K° .

Решението на система /1/ е целесъобразно да се осъществи без комплексни величини. За целта комплексната величина \dot{H} се представя във вида $\dot{H} = u + jv$, където u и v са съответно реалната и имагинерната съставляващи на напрегнатостта на магнитното поле. По такъв начин се получава система от три уравнения относно u , v и T .

$$\begin{cases} \frac{1}{R} \frac{\partial}{\partial R} \left(\rho R \frac{\partial u}{\partial R} \right) = - \omega \mu \mu_0 v \\ \frac{1}{R} \frac{\partial}{\partial R} \left(\rho R \frac{\partial v}{\partial R} \right) = \omega \mu \mu_0 u \\ C_v \frac{\partial T}{\partial t} = \frac{1}{R} \frac{\partial}{\partial R} \left(\lambda R \frac{\partial T}{\partial R} \right) + \rho \left[\left(\frac{\partial u}{\partial R} \right)^2 + \left(\frac{\partial v}{\partial R} \right)^2 \right] \end{cases} \quad /2/$$

Съответно се преобразуват и граничните условия, като при

$$R = R_B \Rightarrow \left\{ \begin{array}{l} \frac{\partial u}{\partial R} = -\omega \mu_0 R_B \frac{v}{2\rho} \\ \frac{\partial v}{\partial R} = \omega \mu_0 R_B \frac{u}{2\rho} \\ -\lambda \frac{\partial T}{\partial R} = \Delta p_1 \end{array} \right.$$

$$\text{а при } R = R_2 \Rightarrow \left\{ \begin{array}{l} u = u_e, \quad v = v_e \\ -\lambda \frac{\partial T}{\partial R} = \Delta p_0 \end{array} \right.$$

С въвеждането на пространствено-временна мрежа $\Omega_{h\tau} = \hat{\omega}_h \times \hat{\omega}_\tau$, където $\hat{\omega}_h = \{R_i = R_{i-1} + h_i; i = 1, 2, \dots, N; R_0 = R_B\}$ - пространствено неравномерна мрежа, а $\hat{\omega}_\tau = \{t_j = t_{j-1} + \tau_j; j = 1, 2, \dots, M; t_0 = 0\}$ - временно неравномерна мрежа, پہلвата итерационно-разностна схема, построена на принципа на консервативността, добива следния матричен вид:

$$A_i W_{i-1}^{j+1} - C_i W_i^{j+1} + B_i W_{i+1}^{j+1} = -F_i^j \quad /3/$$

Където

$$W_i = \begin{bmatrix} u_i \\ v_i \\ T_i \end{bmatrix}; \quad A_i = \begin{bmatrix} a_{ni} & 0 & 0 \\ 0 & a_{ni} & 0 \\ 0 & 0 & a_{ni} \end{bmatrix}; \quad C_i = \begin{bmatrix} c_{ni} & -k_i & 0 \\ k_i & c_{ni} & 0 \\ 0 & 0 & c_{\tau i} \end{bmatrix}$$

$$B_i = \begin{bmatrix} b_{ni} & 0 & 0 \\ 0 & b_{ni} & 0 \\ 0 & 0 & b_{\tau i} \end{bmatrix}; \quad F_i^j = \begin{bmatrix} 0 \\ 0 \\ g_i \end{bmatrix};$$

$$a_{ni} = \frac{\rho_i + \rho_{i-1}}{h_i + h_{i+1}} \left(\frac{1}{h_i} - \frac{0,5}{R_i} \right);$$

$$b_{ni} = \frac{\rho_i + \rho_{i-1}}{h_i + h_{i+1}} \left(\frac{1}{h_{i+1}} + \frac{0,5}{R_i} \right);$$

$$C_{ni} = a_{ni} + b_{ni}; \quad k_i = \omega \mu_0 \mu_i; \quad C_{Ti} = a_{Ti} + b_{Ti} + \frac{C_{\sigma i}}{\tau_j}$$

$$g_i = \rho_i (u_i'^2 + v_i'^2) + (C_{\sigma i} / \tau_j) T_i^2$$

Стойностите на a_{Ti} и b_{Ti} се изчисляват така както и a_{ni} и b_{ni} , но се замества ρ с λ .

Производните u_i' и v_i' се намират по формулите за крайните разлики или, за по-голяма точност, след интерполация на функциите u и v със сплайнове от трети ред. Коэффициентите се определят като се изхожда от стойностите на W на предишната итерация, т.е. използвава се методът на простите итерации. Решението на системата /3/ се осъществява по метода на Гаус.

В съответствие с този метод пресмятането става на два етапа. Първо се пресмятат матриците

$$G_{i+1} = [C_i - A_i G_i]^{-1} B_i, \quad i = 1, 2, \dots, N-1 \quad /4/$$

$$Q_{i+1} = [C_i - A_i G_i]^{-1} [A_i Q_i + F_i], \quad i = 1, 2, \dots, N-1$$

на втория етап търсените компоненти на матрицата W_i се определят по израза:

$$W_i = G_{i+1} W_{i+1} + Q_{i+1}, \quad i = N-1, N-2, \dots, 2, 1, 0 \quad /5/$$

Основният недостатък на матричния метод е свързан с необходимостта на всяка стъпка на пресмятане на /4/ да се образува матрицата $[C_i - A_i G_i]$, което в общия случай води до голям обем изчисления. В дадената задача, отчитайки спецификата на матрицата $[C_i - A_i G_i]$ - матрица от трети ред /девет коэффициента, четири от които са равни на нула/, този недостатък се преодолява като се записват коэффициентите на обратните матрици в явен вид. В началото на изчисленията по формулите /4/ е необходимо да се знаят коэффициентите на матриците G_1 и Q_1 , които се определят от граничните условия при $R = R_B$. За да се изчислява по формула /5/ трябва да се знае W_N . Коэффициентите на W_N се определят от граничните условия при $R = R_2$, които в общия случай могат да се запишат като

$$A_N W_{N-1} - C_N W_N = -F_N \quad /6/$$

Замествайки в /6/ израза /5/, изчислен за $i = N-1$, се получава

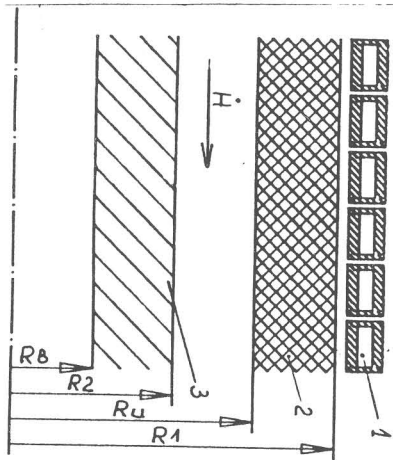
$$W_N = (C_N - A_N G_N)^{-1} (F_N + A_N Q_N) \quad /7/$$

В изследването от значение на определяне различните делови на порозувателта на телера са различни, затова структурата и стойностите на коефициентите на матриците A_M , C_N , F_M също са различни.

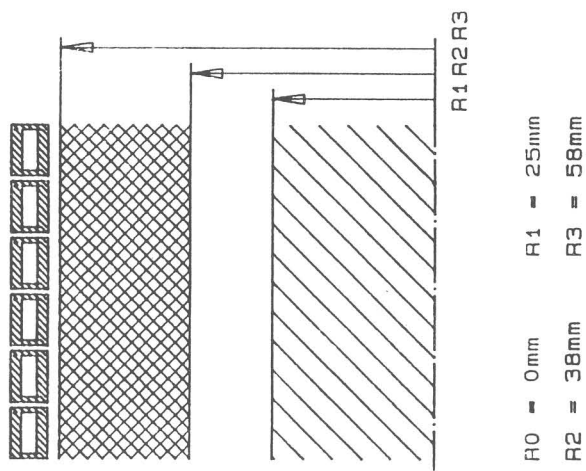
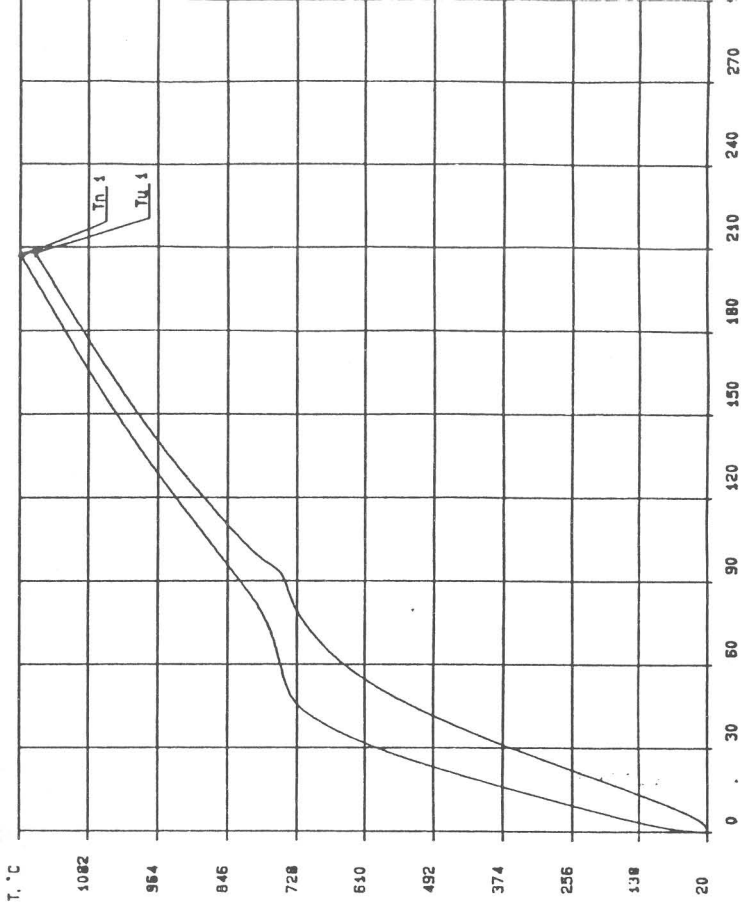
С помощта на този модел беше създаден програмен продукт, даващ възможност на моделиране на електромагнитните процеси в индуктори за обемно индукционно нагряване. Създадени бяха действителни параметри на $\mathcal{M}IM$ в ковашко-пресов цех на ДЗ "Поден" - Габрово. Резултатите от моделирането са показани посредством графиките на фиг. 2. Измерването на температурата беше извършено с оптически пирометър $PH - 1400$. При направеното сравнение беше констатирана разлика в достигане на крайната температура $/1250^{\circ}C/$ от порядъка на $4 \div 5 s$, при най-малко технологически допустимо време $1,2 min$.

Л И Т Е Р А Т У Р А

- [1] Невков, В.С., Демидович, В.В., Теория и расчет устройств индукционного нагрева, Энергоатомиздат. Л., 1988.
- [2] Слухоцкий, А.Е., Установки индукционного нагрева, Энергоиздат. Л., 1981.



Фиг. 1 Индуктор за обемно индукционно нагряване на цилиндрични тела
 1-индуктор; 2-топлинна изолация; 3-нагреваемо тяло



Фиг. 2 Графика на функцията $T=f(t)$ при $f=2500, \text{Hz}$ и $\text{Ширг.}=750, \text{v}$
 T_{n1} -температура на повърхността; T_{u1} -температура в центъра